

複变数理论与变换运筹

N.W. 麦克拉西兰著

科学出版社

複变数理论与变换运
及其在技术上的应用

麦克拉西兰著

魏伯玉譯

科学出版社

1959

001120

2770/04

McLACHLAN
COMPLEX VARIABLE THEORY
AND
TRANSFORM CALCULUS
WITH TECHNICAL APPLICATIONS
Cambridge
At The University Press
SECOND EDITION
1955

內容簡介

本書闡明複變函數論在工程技術上的應用，而重點放在應用方面，並附有大量例題，供讀者參考及練習。書內所介紹的必要的複變函數的基本知識不比一般工程數學書中介紹的為少；至于應用方面和有關積分方面的一些資料則相當豐富，是同类書籍中所少見的。

本書可供高等工業學校的學生、教師和工程師參考之用。

複變數理論與變換運算

N. W. McLachlan 著
魏伯玉譯

科学出版社出版 (北京朝陽門大街117號)
北京市書刊出版業營業許可證出字第061號

中国科学院印刷厂印刷 新华书店總經售

*
1959年8月第一版 單行：1815 字數：301,000
1959年8月第一次印刷
印數：5,700
开本：850×1188 1/32
印製：11 1/2

定价：1.90元

第三版序

在 1936—7 年准备初版的底稿时，其严格程度似乎是恰当的了，但某些閱过此書的純粹数学家（和物理学家！）却不同意。在其后的一段时期科技数学的标准有了改进，于是現在可以比以前更严格了。因此关于复变数理論的几章已經重写过，扩增了且使严格到对一切人都足够了，純粹数学家除外，他們不是本書的对象。書中使用小字体各节講到較艰澀的題材可在第一次閱讀时省略，到需要时再參看。書中其余部份也都全校訂过而使之近代化。某些旧节已經被取消代之以更重要的題材；例如重复脉冲。富氏变换及頻率譜已加进了第十一章。解常微分方程利用 p -乘拉氏变换的表或梅林逆換定理，由考慮的問題而定。有关偏微分方程各节已改过。通过拉氏变换的处理，使初始条件易于結合。梅林定理用来作逆換¹⁾。有載荷与无載荷的海底电报纜的实际資料都已給出。由計算所得的及收得訊号的实际形状以及在电纜两端所用电路的圖都在第十三章內再次刊出：有載荷电纜的資料由 A. L. Meyers 先生供給而关于无載荷电纜的是由作者补充。关于电滤波器还增加了节数，借助于一新定理²⁾，对散能滤波器的解答已經被簡便地表成一定积分形式。为讀者准备的例題的数目和类别已增加了，而参考文献目录也增添了。关于書內用到的許多級數的收敛性，給了一个附录，这該是有用的。 p -乘拉氏变换的新表只包括本書所需的內容，因較詳尽的表可在別处找到^[235a, b]。

本書和那本名称为“近代运算微积”的書^[236]有相輔作用，且可一塊兒使用，后者采用实变数和拉氏变换方法，这样就把這題材进行处理到一个阶段，由那里接下去改用复变数方法会更有利，如这書內所示。在許多牽涉偏微分方程的科技問題的解答和漸近公式的推导中就需要复变数积分法。

1) 叠施拉氏变换以解偏微分方程在[266]內有范例。

2) N. W. McLachlan, Math. Gaz. 30, 85, 1946.

T. J. Higgen 教授和 E. J. Scott 教授校閱了證明而 A. J. Macintyre 博士和 C. Strachen 校閱了部分的底稿，我十分感謝這几位先生，他們的批評和指教是很寶貴的。最後，借這機會我對 Pierre Humbert 表示深切的謝忱，由於他的指正使 [235a] 內的表不致遺漏。

N. W. 麥克拉西蘭

1952年5月

初 版 序

本書的意圖是对所謂“运算法”作新的處理，并闡明它在技术科学的不同部門中的应用。虽然作者原意主要是为了数学的技术科学工作者¹⁾，本書的某些部分也許对别的人也有用处。

讀者会詫异，何以在 § 8.11 中拉氏积分(1)的外面要用上一个 p ，理由如下：(i) 由于有 p ，各种函数的运算形式²⁾ 就等同于由赫維賽法所获得的。这种形式已有久远而广泛的使用，因而不宜有所改变³⁾。(ii) t^n 的运算形式为 $n! / p^n$ 。于是若把 t 和 p 看作各具有量綱 d 和 d^{-1} ，且若 $f(t)$ 和它的运算形式可展成絕對收斂的級数，则对应的項，对量綱來說，就等同了。从核对的意圖來說，这是有用的，如在参考文献[205]的 § 10 內所示。

本書分成四部分，(I) 复变数，(II) 运算微积，(III) 技术应用和讀者可作的例題，(IV) 附录和参考文献目录。头三部分的每部分前都有导論⁴⁾，需要在开始學習那部分时先仔細閱讀。第一部分必須完全理解。讀完每一章后，在第三部分末尾有关的例題应做出…。当讀者消化了第一部分，对八至十各章前一部分的知識掌握了之后，就可轉到第三部分。为了避免在中途插进有关論点的注解，在第四部分給出許多附录。在全書中它們是常常要用作参考的…。

技术工作者既不适于，也沒有時間，去追求严格到最后的“ ϵ ”。正如数学工作者要駕駛汽車不必熟悉热力学和內燃机設計那样，技术科学工作者不必知道如何去証明他所用到的一切定理。但就像数学家司机一样，他必須熟悉公路規章。换言之，适当的严格是需要的，而我希望这書之内已經在数学的要求与实用的需要两者之間取

1) 指使用数学去解决各种技术問題(例如声学的，航空学的，化学的，电学的，力学的，热學的問題)的人等等。这名词也适用于从事工业和应用的研究工作的数学家。

2) 在二版中表为 P -乘拉氏变换。

3) 这理由現已不适用(1952)。

4) 在第二版中已略去了。

得了愉快的協調。

某些人也許會認為，整個的說，這書是難念的，因為其中複變數積分居於重要地位。回顧半世紀前，我們發覺工程師把微分積分學看成他們大多數所不能接觸到的神秘的東西。而今天工程方面的學者已經跨越了微積分（至少微積分對他們來說只是小量而不很够的一部分）。因此若這書能把複變積分介紹給諸英語的數學技術科學工作者，單在這方面，它就起了作用。還有，此後培養未來科技工作者的教師不再為這樣一個課程緊張而煩惱，這課程在大陸（歐洲）的工業技術專科學校中的課程表上若干年來一直是很重要的。

符號。我們引用一個新符號 \supset 來表示“運算式”，理由見[131]。圓的一端對着運算式，而開的一端對着與它對應的 t 的函數，例如 $f(t) \supset \phi(p)$ 。 m, n, r 用來表整數，而 μ, ν 表無限制的數， $R(\nu)$ 表“ ν 的實數部分”。黑體字的符號表每單位長度或面積，視情形而定…。

N. W. 麥克拉西蘭

倫敦 1939 年 3 月

目 录

第二版序.....	iii
初版序.....	v

第一部 复变数理論

第一 章 复变数函数.....	1
第二 章 积分、勾尾定理、泰勒定理和罗朗定理.....	24
第三 章 残数計算.....	46
第四 章 白朗姆維齐路綫、等效路綫、积分計算.....	60
第五 章 咖馬(gamma), 誤差及貝塞爾函数.....	88
第六 章 当 $\phi(z)$ 有支点时, $\frac{1}{2\pi i} \int_{B_1} \frac{e^{zt}\phi(z) dz}{z}$ 的計算.....	102
第七 章 积分号下微分和积分.....	114

第二部 變換運算理論

第八 章 梅林反變換定理、變換理論.....	124
第九 章 常系数的綫性常微分方程的解法.....	142
第十 章 不連續函数、脉冲、頻率譜.....	150

第三部 第一部和第二部的科技应用

第十一章 电路、振蕩体系、飞机动力学、梁的弯曲.....	178
第十二章 无线电和电视接收机.....	194
第十三章 線性偏微分方程、傳電綫、滤波器.....	209
第十四章 有金属心的螺管线圈、电容话筒、扩音器.....	256
第十五章 热的扩散、潮气的吸收.....	275
讀者可作的例題.....	291

第四部 附录及参考文献目录

附录 1. 定积分的模不能超过極大模 M 和路程 l 長度之乘积	307
2. 当 $0 \leq \theta \leq \frac{1}{2}\pi$ 时, $\sin \theta \geq 2\theta/\pi$ 的証明	307
3. 漸近級數	308
4. 梅林反变换定理	311
5. 路線的变换	315
6. 在 Br_2 上 p^n 的反变换, $n \geq 1$	320
7. 在 Br_1 上, 当 $R(\nu) \geq 1$ 时 p^ν 的反变换	321
8. 乘积定理	328
9. 无穷級數的收敛性	326
10. p -乘拉氏变换式簡表	329
参考文献 A. 科学論文	333
B. 書籍	342
C. 增添的文献	344
索引	346

第一部 复变数理論

第一章 复变数函数

1.1. 定义及图形表示 如果一个复数 $w = u + iv$ 和另一个复数 $z = x + iy$ 之间有一种联系使 w 的值由 z 的值唯一地决定时, 则 w 称为 z 的一个函数. 变数 u, v, x, y 为实数, u 与 v 为 x, y 的实函数.

圖 1 表明大家知道的阿根 (Argand) 或向量圖, 其中 P 为复变数 $x + iy$ 的代表点, 它在被我們看作 z -平面的平面內. 在圖 1 内, 虽然 $\theta < \frac{1}{2}\pi$, 但 PON 的一般值为 $(\theta + 2n\pi)$, n 表任意的非零整数. 設向量 OP 繞中心 O 以反時針方向旋轉 (这旋轉方向被取作正向). 当 OP 每一次經過圖上所示位置时, 就得出对应的 z 的值. 因 $x = r \cos \theta$, $y = r \sin \theta$, z 的一般值为

$$z = r \{ \cos(\theta + 2n\pi) + i \sin(\theta + 2n\pi) \} = r e^{i(\theta + 2n\pi)} = r e^{i\theta}, \quad (1)$$

其中

$$r = |z| = \sqrt{x^2 + y^2} \text{ 而 } e^{2n\pi i} = 1, n \text{ 取正值.}$$

考慮函数

$$w = z^2 \quad (2)$$

若以(1)中的一般值代 z , 則有

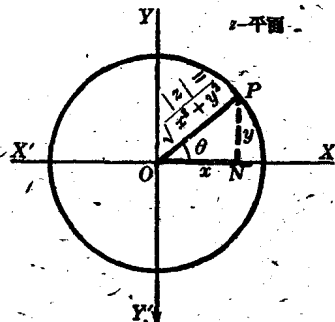


圖 1. $\theta = z$ 的相.

$$w = r^2 e^{i(2\theta + 4n\pi)} \quad (3)$$

因 $e^{i(2\theta + 4n\pi)} = e^{2i\theta}$, 故若 r 与 θ 均为定值, 則 w 对一切的 n 值恒等. 所以对应于每一个 z 的值只有 w 的一个值, 因此 w 名为 z 的一个單值函数. 还有, 对 z 的一切有限值, w 被唯一地决定.

在实变数的情形下, 关系 $y^2 = x$ 意味着 $y = \pm \sqrt{x}$, 可見对应于每一个正的 x 值, 有两个絕對值相等而符号相反的 y 值. 所以 y 不是被任何的正 x 值, 零除外, 唯一地决定. 考慮复变数的函数时, 我們将避免这种含混性. 为此, 变数 z 将被限制, 在一个規定好的角度范围内, 使所考慮的函数能被唯一地决定. 这种情形, 将来就要論及.

若 w 与 z 均为实变数, 它們之間的关系, 可以用大家知道的几何方法来表成一平面曲綫, 这复数时就不可能了, 因为有了四个变数. 例如, 若 $z = x + iy$, 由 (2) 得

$$w(z) = u(x, y) + iv(x, y) = (x + iy)^2 = (x^2 - y^2) + 2ixy, \quad (4)$$

于是,

$$u(x, y) = (x^2 - y^2) \text{ 而 } v(x, y) = 2xy \quad (5)$$

还有, u 与 v 都是 x 与 y 两者的函数. (5) 内每一关系都表示一曲面, 采用圖形射影的某种形式, 这两曲面是可以表示出来的. 但, 一种比較令人滿意的办法是“計算对应于各 x 及 y 的值的 w 的模”; 于是, 利用等距 (isometric) 圖紙, 模曲面是可以描画出来的. 描画模曲面的观点归功于赫孚特 (Hoffter)¹⁾. 圖 2 表明 $w = z^2$ 的情形, 在那里

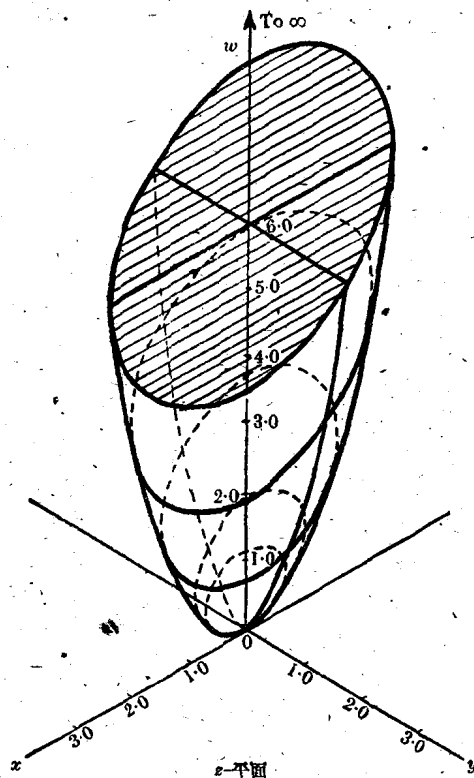
$$|w| = \sqrt{u^2 + v^2} = x^2 + y^2. \quad (6)$$

复变数 z 可以用通过軸 ox 及 oy 的 z -平面中任一点来表示. 因此在圖 2 中, z 的范围是毫无限制的, 模曲面及函数 $w = z^2$ 均为連續, 而在 z 为有限的条件下, $|w|$ 为有限. 除无穷远点外, 每一点的曲面坡度为有限且連續.

1.2. 連續性 若对应于一給出的正量 ε , 无论怎样小, 总可找到一有限正量 η 使

$$\text{当 } |z - a| < \eta, \text{ 有 } |f(z) - f(a)| < \varepsilon. \quad (1)$$

1) Z. Math. Phys. 44, 235, 1899.

图 2. 函数 $w=z^2$ 的模曲面(旋转抛物面); 等距描图。

则函数 $w=f(z)$ 称为连续于点 $z=a$ 。这也可以说作：“若 $f(a)$ 有确定的值且 $\lim_{z \rightarrow a} f(z) = f(a)$, 则 $f(z)$ 在 $z=a$ 处是连续的。”图 3(a) 内, P 表示点 a , 而 z 为以 P 为心的小圆上的任一点。上面所说 $f(z)$ 在 a 连续的情况是与 z 趋近 a 的方向无关的。例如, 可以沿 NP , MP , 或任何曲线, 像 RP 。作为一个例子, 考虑函数 $w=(z-a)^2$, 它和 §1.1 的(2)是一样的; 只不过是原点移到了点 $z=a$ 而已。取图 3(b) 内的 P 作为辅助原点,

$$PN = r = |z-a| \text{ 而 } (z-a) = re^{i\theta} = r(\cos \theta + i \sin \theta).$$

于是, 当 N 从小圆上任一点, 沿任何路线趋近 P , $r \rightarrow 0$, 且 $z \rightarrow a$, 故

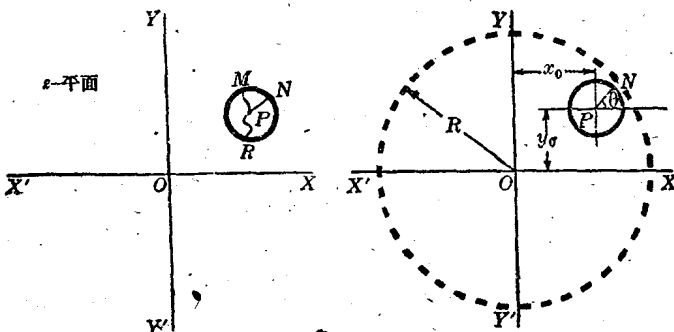


圖 3(a).

圖 3(b). $OP = a = x_0 + iy_0$. z 是小圓上任一點, 如 $R > |z|$ 及 $|a|$, 則 $2R > |z+a|$.

在極限情形下 $r=0$ 與 $z=a$. 現在, 若 z 和 a 均在以 O 为圓心, 以 R 为半徑的圓內, 即圖 3(b) 中虛線圓內, 則有

$$|f(z)-f(a)| = |(z-a)^2| \leq |(z-a)(z+a)| < 2R|z-a|. \quad (2)$$

故若 $|z-a| < \frac{\varepsilon}{2R}$, 則

$$|f(z)-f(a)| < \varepsilon, \quad (3)$$

因而函數 $w=(z-a)^2$ 在點 $z=a$ 处是連續的. 在這例子里, η 的一個適當值是 $\frac{\varepsilon}{2R}$.

為了說明間斷性, 考慮函數

$$w = \frac{1}{z-a}.$$

當 z 从任何方向趨近點 a (參看圖 3(b)), $\frac{1}{z-a}$ 无限地增大, 即 $f(z) \rightarrow \infty$. 因而函數在 $z=a$ 无確定值, 故為間斷, 它的一階導數亦然.

若一函 $f(z)$ 在一個給出的區域內各點上都連續, 就稱它在這區域內是連續的. 例如, $w=z^2$ 對 z 的一切值, 无限大除外為連續, 而 $w=\frac{1}{z}$ 在一切點連續, 原點除外, n 次的任一多項式

$$w = a_0 + a_1 z + a_2 z^2 + \cdots + a_n z^n,$$

为单值的,且在 z -平面的有限部分连续。

z 的连续函数也就是两实变数 x, y 的连续函数,在 $w = z^2$ 的情况,取 $a = x_0 + iy_0$, 就有(参看图 3(b))

$$z^2 = x^2 - y^2 + 2ixy = u(x, y) + iv(x, y), \quad (4)$$

$$a^2 = x_0^2 - y_0^2 + 2ix_0y_0 = u_0(x, y) + iv_0(x, y). \quad (5)$$

故

$$z^2 - a^2 = (u - u_0) + i(v - v_0), \quad (6)$$

且

$$|u - u_0| \leq |z^2 - a^2| < \varepsilon, \quad (7)$$

只要 $|z - a| < \eta$, 等号当 $v = v_0$ 时成立。

现在

$$|z - a| = \sqrt{(x - x_0)^2 + (y - y_0)^2}, \quad (8)$$

若 $(x - x_0)$ 与 $(y - y_0)$ 均 $< \frac{\eta}{\sqrt{2}}$ (此条件是可以满足的), 则 $|z - a|$ 就小于 η , 于是有

$$|u - u_0| < \varepsilon, \quad (9)$$

故 u 是 x 与 y 的连续函数而表一连续曲面。函数 v 可以同样处理。因 u 与 v 均为 x 与 y 的连续函数, 于是 $w = z^2$ 亦为这两变数的连续函数。

1.31. 导数的定义 设 z 为图 3(b) 内, 以 a 为中心的小圆上的任一点。假设在选定一无论怎样小的实正数 ε 之后, 总可找到一实数 η 使: 当小圆半径, 即 $|z - a| < \eta$ 时, 有

$$\left| \frac{f(z) - f(a)}{z - a} - f'(a) \right| < \varepsilon. \quad (1)$$

于是(1)可写成

$$f(z) = f(a) + (z - a)f'(a) + \lambda(z - a), \quad (2)$$

其中, $|\lambda| < \varepsilon$. 在极限时当 $z \rightarrow a$ 及 $|\lambda| \rightarrow 0$, (2)可以写为:

$$f'(a) = \lim_{z \rightarrow a} \frac{f(z) - f(a)}{z - a}. \quad (3)$$

如果我们将 z 作为小圆的圆心且把 $|h|$ 作为它的半径, 则 $(z + h)$ 为圆周上任一点。于是在(3)内, 把 a 写成 z , 把 z 写成 $(z + h)$, 之后, 就得

$$f'(z) = \lim_{|h| \rightarrow 0} \frac{f(z+h) - f(z)}{h} \quad (4)$$

公式(4)看起来是与实变数时的公式相同,但在解释方面有点差别,这就要在 § 1.32 里加以说明。

1.32. 例 考虑指数函数 e^z 。它在 z -面的任何有限区域内是有限的且是单值的。设 z 为图 3(a) 中, 以 $|h|$ 为半径的小圆圆心 P , 而 $(z+h)$ 为圆周上任一点。于是由 § 1.31 的(4), 有

$$f'(z) = \lim_{|h| \rightarrow 0} \frac{e^{z+h} - e^z}{(z+h) - z} = \lim_{|h| \rightarrow 0} \frac{e^z(e^h - 1)}{h} = \quad (1)$$

$$= \lim_{|h| \rightarrow 0} e^z \left(1 + \frac{h}{2!} + \frac{h^2}{3!} + \dots \right), \quad (2)$$

于是

$$\frac{d(e^z)}{dz} = e^z. \quad (3)$$

以图 3(a) 中的 P 为辅助原点,

$$h = r(\cos \theta + i \sin \theta) = re^{i\theta},$$

表小圆 MNR 上任一点, 这圆的半径为

$$r = PN = |h|.$$

将(2)中的 h , 施以代换, 得

$$\frac{e^{z+h} - e^z}{(z+h) - z} = e^z \left(1 + \frac{re^{i\theta}}{2!} + \frac{r^2 e^{2i\theta}}{3!} + \dots \right), \quad (4)$$

而述式, 当 $r = |h| \rightarrow 0$, 趋于 e^z , 与 θ 无关。即是说, 极限值与小圆上的 h 趋近点 P 的方向无关。在实变数的情形, h 沿平行于 x -轴的方向趋于零, 这就是两种极限的差别。 z 的任何解析函数的导数, 对实变数和对复变数讲, 是一样的。

1.33. 解析, 正则, 或全纯函数的定义 如果复变数 $x+iy$ 的函数 $f(z)$ 在包含 z_0 的区域内是单值的, 而且

(i) $f(z_0)$ 有唯一的有限值,

(ii) 在 $z=z_0$ 处, $f(z)$ 有唯一而有限的导数值 $f'(z_0)$, 使

$$\left[\frac{f(z_0+h) - f(z_0)}{h} \right] - f'(z_0) \rightarrow 0, \text{ 当 } |h| \rightarrow 0.$$

則函数 $f(z)$ 称为“在 z -平面内一点 z_0 是解析的, 正则的, 或全纯的”。若在 z -平面一区域内的一切点, 函数是解析的, 因而也是連續的, 則称为“在区域内是解析的”。

例 因 e^z 和它的一阶导数, 在 z -平面的任何有界限的区域內, 都是唯一而有限, 故在那里, 指数函数是解析的。在 § 1·53 就要指出, 它在无穷远不是解析的。

1.34. 解析函数的勾犀-黎曼条件 复变数的連續函数可表成形式

$$w(z) = u(x, y) + iv(x, y); \quad (1)$$

其中 $u(x, y)$ 与 $v(x, y)$ 均为 x, y 的連續函数, 例如 § 1·1 內的(4), (5), 于是

$$\frac{\delta w}{\delta z} = \frac{\partial u + i\partial v}{\partial x + i\partial y}, \quad (2)$$

現在我們要得出, 当 $\delta z \rightarrow 0$, 这比值趋近一确定極限的条件。由 § 1·32, 导数是与 $\delta z \rightarrow 0$ 的路線无关的, 所以我們可以令 δx 与 δy 相繼地趋于零。

在(1)內, 設 y 不变而令 x 增加一小量 δx , 就有

$$\frac{\delta w}{\delta z} = \frac{u(x+\delta x, y) - u(x, y)}{\delta x} + i \frac{v(x+\delta x, y) - v(x, y)}{\delta x}. \quad (3)$$

当 $\delta x \rightarrow 0$ 时, (3) 要能趋于一極限, u, v 必須有对 x 的偏导数, 故有

$$\frac{dw}{dz} = \lim_{\delta x \rightarrow 0} \frac{\delta w}{\delta z} = \frac{\partial u}{\partial x} + i \frac{\partial v}{\partial x}. \quad (4)$$

令 x 不变而 y 变, 有

$$\frac{dw}{dz} = \lim_{\delta y \rightarrow 0} \frac{\delta w}{\delta z} = \frac{\partial v}{\partial y} - i \frac{\partial u}{\partial y}, \quad (5)$$

要(3), (4) 中的 $\lim \frac{\delta w}{\delta z}$ 相等, 必然有

$$\frac{\partial u}{\partial x} = \frac{\partial v}{\partial y} \text{ 和 } \frac{\partial u}{\partial y} = -\frac{\partial v}{\partial x}. \quad (6)$$

$\frac{\delta w}{\delta z}$ 要有唯一的極限, 在(6)的各项均为連續的条件下, 这些勾犀-黎曼条件是必要的。現在假設这些条件在一点 z 滿足, 我們來證明它們是充分的。于是 u, v 和它們的一阶偏导数在 z 的邻域內均为連續, 故有^[250]

$$\delta w = \left(\frac{\partial u}{\partial x} \right) \delta x + \left(\frac{\partial u}{\partial y} \right) \delta y + \lambda_1 \delta x + \lambda_2 \delta y, \quad (7)$$

及

$$\delta v = \left(\frac{\partial v}{\partial x} \right) \delta x + \left(\frac{\partial v}{\partial y} \right) \delta y + \lambda_3 \delta x + \lambda_4 \delta y, \quad (8)$$

其中 $\lambda_1, \dots, \lambda_4 \rightarrow 0$ (当 δx 和 $\delta y \rightarrow 0$), 将(6)中的第二个关系代入(7)和(8), 得

$$\delta w = \delta u + i\delta v =$$

$$= \frac{\partial v}{\partial y} (\delta x + i\delta y) - i \frac{\partial u}{\partial y} (\delta x + i\delta y) + (\lambda_1 + i\lambda_3) \delta x + (\lambda_2 + i\lambda_4) \delta y. \quad (9)$$

于是由(2), (9)有

$$\frac{\delta w}{\delta z} = \frac{\partial v}{\partial y} - i \frac{\partial u}{\partial y} + (\lambda_1 + i\lambda_3) \frac{\delta x}{\delta z} + (\lambda_2 + i\lambda_4) \frac{\delta y}{\delta z}. \quad (10)$$

现因 $\left| \frac{\delta x}{\delta z} \right|$ 和 $\left| \frac{\delta y}{\delta z} \right| \leq 1$, 故当 $\delta z \rightarrow 0$, (10) 中的最后两项亦趋于零, 于是我们得到(5). (4) 的结果可同样导出, 故我们已经证明了, 若勾犀-黎曼条件满足, 则 $w(z)$ 存在, 因而 $w(z)$ 在点 z 处是解析的. 所以对解析性来说这些条件是必要而充分的.

可以证明

$$\frac{dw}{dz} = \frac{\partial u}{\partial x} - i \frac{\partial u}{\partial y} = \frac{\partial v}{\partial y} + i \frac{\partial v}{\partial x}, \quad (11)$$

故 $\frac{dw}{dz}$ 可写成四种不同的形式. 由于关系(4), (5), u 和 v 有时称作共轭¹⁾ 函数. 因 $w(z)$ 在点 z 处为解析的, 由 § 2.41 立得: u 和 v 对 x 和 y 有连续的二阶导数. 于是由(6)有

$$\frac{\partial^2 u}{\partial x^2} = \frac{\partial^2 v}{\partial y \partial x} \text{ 和 } \frac{\partial^2 u}{\partial y^2} = -\frac{\partial^2 v}{\partial x \partial y}, \quad (12)$$

相加后, 有

$$\frac{\partial^2 u}{\partial x^2} + \frac{\partial^2 u}{\partial y^2} = 0. \quad (13)$$

同样, 有

$$\frac{\partial^2 v}{\partial x^2} + \frac{\partial^2 v}{\partial y^2} = 0, \quad (14)$$

故 u, v 都满足两自变量 x, y 的拉普拉斯方程.

勾犀-黎曼条件的极坐标形 对应于(6), 我们有

$$\frac{\partial u}{\partial r} = \frac{1}{r} \frac{\partial v}{\partial \theta}, \text{ 和 } \frac{\partial v}{\partial r} = -\frac{1}{r} \frac{\partial u}{\partial \theta}. \quad (15)$$

这些公式的推导留给读者作为练习.

1.35. 例

1° § 1.1 的(4) 是解析函数; 因

1) 这里的“共轭”并不表示 $u \pm iv$ 为共轭的意义。